

таблице случайных чисел, а геометрические центры совпадали с началом координат. Поворот изображений не допускался. После обучения было предъявлено 27 новых изображений треугольников и квадратов. Из них правильно классифицировано 25 изображений.

ЛИТЕРАТУРА

1. П. Леви. Конкретные проблемы функционального анализа. М., «Наука», 1967.
2. К. М. Савостьянова. Фотохромные свойства спиропиранов.— Оптико-механическая промышленность, 1968, № 5.
3. Г. И. Салов. О применении процесса стохастической аппроксимации в гильбертовом пространстве к задаче классификации случайных сигналов.— Автометрия, 1970, № 6.

Поступило в редакцию
10 мая 1971 г.

УДК 538.56

В. А. ГЕРАНИН, И. И. КОЗЛОВ, М. И. ШЛЯКЦУ
(Киев)

О ТОЧНОСТИ КОРРЕЛЯЦИОННОГО АНАЛИЗА МЕДЛЕННО-НЕСТАЦИОНАРНЫХ ПРОЦЕССОВ

Теоретическое исследование точности экспериментального корреляционного анализа по одной реализации нестационарного случайного процесса (НСП) нередко проводится в предположении, что нестационарность процесса медленная. Однако до настоящего времени «условия медленности» не сформулированы. Поэтому пределы справедливости результатов, полученных в рамках указанных допущений, могут оказаться расплывчатыми.

В настоящем сообщении на примере типовой модели НСП сопоставляются истинные погрешности корреляционного анализа с погрешностями, вычисленными в предположении, что нестационарность медленная; обсуждаются возможности приближенных вычислений.

Оценка корреляционной функции НСП $X(t)$ в случае симметричного оператора текущего сглаживания:

$$\tilde{R}(t_0, \tau) = \frac{1}{T} \int_{t_0 - T/2}^{t_0 + T/2} X(t) X(t - \tau) dt. \quad (1)$$

Смещение оценки (1) и ее дисперсия при гауссовом распределении $X(t)$ равны соответственно:

$$\Delta[\tilde{R}(t_0, \tau)] = \frac{1}{T} \int_{-T/2}^{T/2} R(t - t_0, \tau) dt - R(t_0, \tau); \quad (2)$$

$$\sigma^2[\tilde{R}(t_0, \tau)] = \frac{1}{T^2} \int_{-T/2}^{T/2} \int_{-T/2}^{T/2} [R(t_0 + t_1, t_1 - t_2) R(t_0 + t_1 - \tau, t_1 - t_2) + R(t_0 + t_1, t_1 - t_2 + \tau) R(t_0 + t_1 - \tau, t_1 - t_2 - \tau)] dt_1 dt_2. \quad (3)$$

Вычисление погрешностей, в особенности дисперсии оценки, по точным формулам (2) и (3) даже для простейших моделей НСП сопряжено со значительными аналитическими трудностями. В связи с этим современное исследование точности корреляционного анализа НСП, как правило (см., например, [1, 2]), проводится в предположении, что нестационарность процесса медленная. Сущность его состоит в том, что на интервале усреднения $R(t, \tau)$ как функция t изменяется незначительно.

Применительно к вычислению смещения предположение о медленной нестационарности используется следующим образом [2, стр. 126]. $R(t+t_0, \tau)$ раскладывается в ряд Тейлора по переменной t в окрестности точки t_0 . Учитываются первые три члена разложения

$$\Delta[\tilde{R}(t_0, \tau)] \approx \frac{T^2}{24} \frac{\partial^2 R(t_0, \tau)}{\partial t_0^2}. \quad (4)$$

При вычислении дисперсии указанное приближение используют еще грубее [1]: в правой части выражения (3) первый аргумент корреляционной функции полагают равным t_0 . В результате

$$\sigma^2[\tilde{R}(t_0, \tau)] \approx \frac{1}{T^2} \int_{-\frac{T}{2}}^{\frac{T}{2}} \int_{-\frac{T}{2}}^{\frac{T}{2}} [R^2(t_0, t_1 - t_2) + R(t_0, t_1 - t_2 + \tau) R(t_0, t_1 - t_2 - \tau)] dt_1 dt_2. \quad (5)$$

На примере гауссова НСП типа

$$X(t) = \varphi(t)Z(t) \quad (6)$$

покажем последствие таких приближений.

На рис. 1—3 представлены графики смещения, дисперсии и полной погрешности измерения

$$\varepsilon[\tilde{R}(t_0, \tau)] = \sqrt{\{\Delta^2[\tilde{R}(t_0, \tau)] + \sigma^2[\tilde{R}(t_0, \tau)]\}}, \quad (7)$$

вычисленные по точным (2), (3) и приближенным (4), (5) формулам в случае $t_0 = \tau/2$

$$\varphi(t) = e^{-\beta t}; \quad (8)$$

$$R_z(\tau) = \sigma_z^2 e^{-\alpha |\tau|}, \quad (9)$$

где $\nu = \beta/\alpha$; τ_0 — интервал корреляции, определяемый из условия $R(t, \tau_0) = 0,05R(t, 0)$.

Сплошные кривые на рисунках соответствуют истинным погрешностям, штриховые — приближенным. Анализ кривых показывает, что расчет по приближенным формулам приемлем лишь при $\nu \leq 0,1$. Если $\nu > 0,1$, приближенный расчет существенно искажает истинную картину (в особенности при $\tau \approx \tau_0$).

Отметим, что полученная в [1] оценка сверху

$$\sigma^2[\tilde{R}(t_0, \tau)] \leq \frac{2}{T} \int_{-\infty}^{\infty} R^2(t_0, \lambda) d\lambda \quad (10)$$

приемлема не всегда. Так, в случае рассматриваемой здесь модели НСП истинная дисперсия $\sigma^2[\tilde{R}(t_0, \tau)]$ при некоторых αT превышает оценку (10) (штрих-пунктирная кривая на рис. 2).

Фигурирующим в этой статье моделирующей функции и оператору сглаживания присущ минимум истинной дисперсии оценки корреляционной функции (1) (см. сплошные кривые на рис. 2).

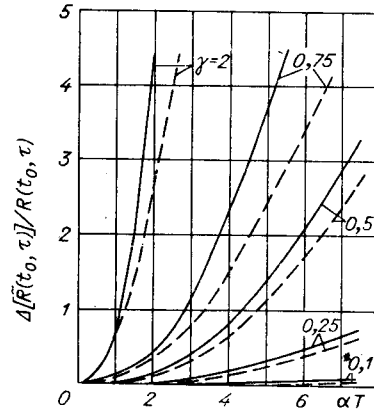


Рис. 1.

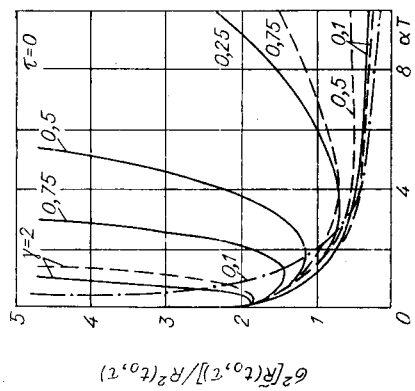
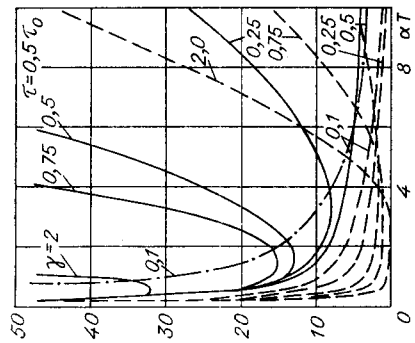
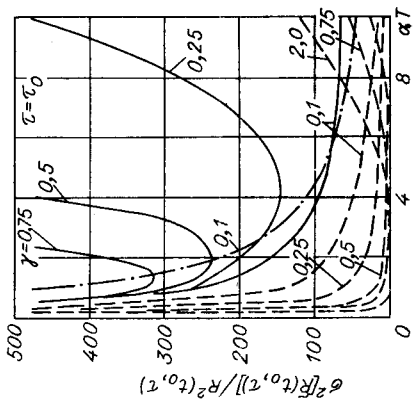


Рис. 2.

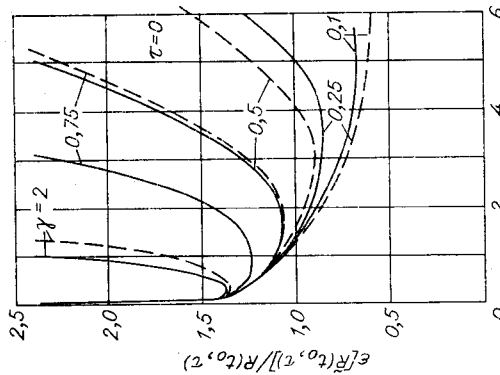
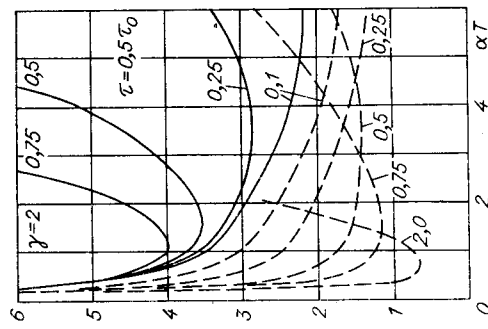
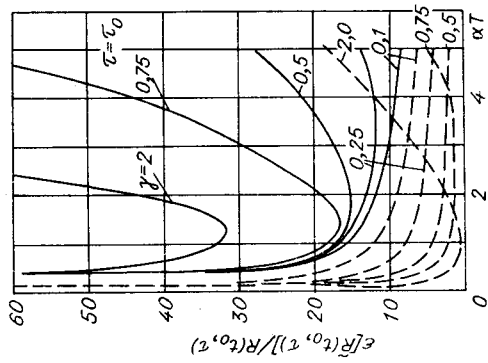


Рис. 3.

ЛИТЕРАТУРА

1. H. Beerndt, G. R. Cooper. An Optimum Observation Time for Estimates of Time-Varying Correlation Functions.—IEEE Trans. on Information Theory, 1965, IT-11, № 2.
2. А. Ф. Романенко, Г. А. Сергеев. Вопросы прикладного анализа случайных процессов. М., «Советское радио», 1968.

*Поступило в редакцию
18 мая 1971 г.*

УДК 621.373.3

Ю. Н. ДУБНИЩЕВ, Ю. М. КОВШОВ
(Новосибирск)

ЛАЗЕРНЫЙ ДОППЛЕРОВСКИЙ ИЗМЕРИТЕЛЬ СКОРОСТИ, НЕЧУВСТВИТЕЛЬНЫЙ К ГЕОМЕТРИИ ПАДАЮЩЕГО ПУЧКА

Лазерные доплеровские измерители скорости (ЛДИС), разработке которых в последнее время уделяется большое внимание, должны удовлетворять ряду требований, главным из которых является минимальная аппаратная ширина доплеровского спектра.

Известные схемы ЛДИС можно отнести к следующим типам: 1) классические интерферометрические схемы с известным опорным пучком [1]; 2) дифференциальные схемы [2]; 3) схемы первого и второго типов с использованием интерферометра Фабри — Перо [3].

ЛДИС первого типа требуют тонкого согласования фронтов опорной и сигнальной волн на фотоприемнике и малых апертур падающего и сигнального пучков. Схемы второго типа позволяют работать с неограниченной апертурой приемника. Применение схем третьего типа ограничивается измерением относительно высоких скоростей (более 10 м/с), поскольку достигнутое к настоящему времени разрешение интерферометров Фабри — Перо оставляет желать лучшего.

Ранее неотмеченный четвертый метод заключается в измерении доплеровской частоты путем получения на фотоприемнике биений частот выделенных пучков, рассеянных объектом, скорость которого подлежит измерению. Аппаратная ширина доплеровского спектра при этом оказывается не зависящей от геометрии падающего пучка и определяется апертурами сигнальных пучков. В схемах этого типа аппаратная ширина спектра может быть очень малой, так как минимальный размер апертур сигнальных пучков определяется только чувствительностью применяемого фотоприемника.

На рис. 1 представлена схема экспериментальной установки. Луч лазера 1 через диафрагму 5, убирающую некогерентный ореол, фокусируется объективом L на движущуюся рассеивающую поверхность, локальную скорость которой требуется измерить. Свет, рассеянный этой поверхностью, выделяется диафрагмами 4 и 6 в направлениях

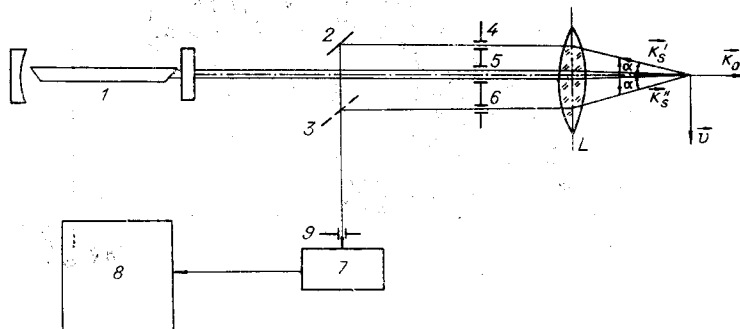


Рис. 1.